

становится меньше единицы, т. е. определяющее влияние на эффект расслоения начинает оказывать волна разрежения, отраженная от свободной поверхности Al.

ЛИТЕРАТУРА

1. Райнхарт Дж. С., Пирсон Дж. Взрывная обработка металлов.— М.: Мир, 1966.
2. Дербас А. А. Физика упрочнения и сварки взрывом.— Новосибирск: Наука, 1980.
3. Голубев В. К., Новиков С. А., Синицына Л. М. О разрушении материалов при нагружении взрывом листового заряда ВВ // ПМТФ.— 1981.— № 2.— С. 112.
4. Erkman J. O. // The Phys. Fluids.— 1958.— 1, N 6.— P. 535.
5. Привалов Ю. М., Солоненко В. Р., Тарасов Б. А. Воздействие скользящей детонации на сжимаемую стенку // ФГВ.— 1976.— 12, № 3.— С. 444.
6. Погорелов А. П., Глушак Б. Л., Новиков С. А. и др. О зависимости импульса отдачи от жесткости преграды в режиме скользящей детонации слоя ВВ // Там же.— 1977.— 13, № 5.— С. 771.
7. Мизес Р. Математическая теория течений сжимаемой жидкости.— М.: ИЛ, 1961.
8. Баум Ф. А., Орленко Л. П., Станюкович К. П. и др. Физика взрыва.— М.: Наука, 1975.
9. Маккуин Р., Марш С., Тейлор Дж. и др. // Высокоскоростные ударные явления/ Под ред. Р. Кислou.— М.: Мир, 1973.
10. Дудоладов И. П., Ракитин В. И., Сутулов Ю. И. и др. Ударная сжимаемость полистирола с различной начальной плотностью // ПМТФ.— 1969.— № 4.— С. 148.

г. Москва

Поступила в редакцию 3/VII 1990

УДК 531.663

M. B. Лисанов, A. B. Дубовик

ВЛИЯНИЕ ПРОЧНОСТИ ЗАРЯДА НА ПАРАМЕТРЫ ВОСПЛАМЕНЕНИЯ ТВЕРДЫХ ВЕЩЕСТВ ПРИ УДАРЕ

На основе модели термопластического разрушения и воспламенения тонкого слоя вязкопластического материала при ударе и использовании нормального закона распределения прочности зарядов ВВ выполнены численные расчеты параметров инициирования и кривых частот взрывов в зависимости от размеров заряда и энергии удара.

В настоящее время чувствительность твердых взрывчатых веществ (ВВ) к механическим воздействиям оценивается методом критических напряжений [1] и комплексом стандартных методик, основанных на определении частоты (вероятности) взрывов (ГОСТ 4545-80). При испытаниях на чувствительность к удару образец спрессованного ВВ толщиной h_0 помещается между торцами двух цилиндрических металлических роликов радиусом R , по которым наносится осевой удар падающим грузом массой M со скоростью v_0 . Взрыв происходит в процессе деформации заряда, если давление прочностного разрушения P_1 превышает критическую величину P_{kp} . По методу критических напряжений значение P_{kp} определяется варьированием толщины образцов и является одной из основных характеристик механической чувствительности ВВ. В стандартных методах испытаний масса заряда (навески) постоянна, и чувствительность ВВ характеризуется величиной частоты взрывов F или энергией падающего груза, соответствующей частоте F_0 , равной 0, 50 или 100 %.

Не обсуждая здесь достоинства и недостатки, присущие указанным методам испытаний, зададимся целью выяснить причины, влияющие на точность определения показателей чувствительности ВВ, вследствие которых данные о степени опасности ВВ, полученные разными группами исследователей, не всегда согласуются между собой. Один из основных факторов, влияющих на вероятность возбуждения взрыва и погрешность определения P_{kp} ,— разброс значений прочности заряда вблизи средней

величины σ_0 , достигающий в зависимости от условий изготовления образцов ВВ 10—25 % [1].

В данной работе выполнен теоретический анализ влияния прочности заряда на параметры воспламенения твердых ВВ (P_{kp} , F) в условиях копровых испытаний на чувствительность к механическим воздействиям. Основу для проведения расчетов составляет математическая модель явления термопластического разупрочнения и воспламенения тонкого слоя вязкопластического твердого вещества при низкоскоростном ударе, разработанная в [2, 3].

В расчетах параметров инициирования использованы следующие основные предположения: 1) сжатие слоя ВВ односторонне и осесимметрично; 2) температура плавления вещества T_{pl} , линейно зависящая от r , является границей механического разогрева ВВ; 3) время разрушения заряда меньше времени пробега звуковых волн по системе нагружения копра; 4) максимальный разогрев T локализован в плоскости сдвига вблизи контактной границы заряда с ударником, и закон изменения $T(t)$ определяется по формуле тепловой динамики трения двух полупространств [2, 4]:

$$T = T_0 + \frac{1}{2\sqrt{\pi\lambda\rho c}} \int_0^t \frac{u(\xi)\tau(\xi)}{\sqrt{t-\xi}} d\xi, \\ \tau = \tau_s + \mu w/2h, \quad \tau_s = \tau_s^0 \left(\frac{T_{pl} - T}{T_{pl} - T_0} \right)^v, \\ \tau_s^0 = \sigma_s^0 / \sqrt{3}, \quad T_{pl} = T_{pl}^0 + \beta p, \quad P = \frac{2}{R^2} \int_0^R prdr, \quad (1)$$

где T_0 — начальная температура; t — время; λ , ρ , c — теплопроводность, плотность, теплоемкость ВВ; $u \sim w/h$ — радиальная скорость течения вещества; h — толщина заряда; $w = |dh/dt|$ — скорость сжатия заряда, определяемая из соотношения волнового приближения [3, 5]; τ — сдвиговое напряжение, складывающееся из предела текучести на сдвиг τ_s и вязкой составляющей; μ — пластическая вязкость; r — радиальная координата; P — среднее давление в образце (давление удара); σ_s^0 , T_{pl}^0 — предел текучести ВВ на сжатие и температура плавления ВВ при нормальных условиях; β , v — эмпирические коэффициенты.

Для определения времени воспламенения t_v , рассчитывалось значение функции $\psi(t) = \int_0^t \tau_{ad}^{-1} [T(t')] dt'$ ($\tau_{ad} = (c\mathcal{R}^0 T^2 / QZE) \exp(E/\mathcal{R}^0 T)$ — период индукции адиабатического теплового взрыва при температуре T ; E — энергия активации химической реакции термоспада ВВ; Q — теплота взрыва; Z — предэкспонент). Воспламенение возникает при условии $\psi(t_v) = 1$ [6].

Из результатов проведенных в [2] расчетов следует, что величина эффективного предела прочности ВВ, определяемая как $\sigma = P_1 / (1 + 2R/\sqrt{3}h_0)$, слабо зависит от условий удара и не превышает величину σ_s^0 более чем на 5—7 %. Поэтому под прочностью заряда σ в дальнейшем будем понимать предел текучести заряда ВВ на сжатие σ_s^0 .

Физическая причина разброса значений прочности зарядов объясняется неравномерностью распределения плотности вещества в объеме спрессованного образца, наличием полидисперсности частиц, влиянием структуры кристаллов и пр. Теоретический учет всех этих факторов, имеющих случайный характер, весьма сложен. Поэтому в качестве первого приближения примем, что в исходном состоянии каждый испытываемый на удар образец ВВ имеет прочность σ , равномерно распределенную по объему заряда. При этом сами значения σ всех зарядов ВВ

определяются законом нормального распределения случайных величин, характеристики которого будут параметрами рассматриваемой задачи.

Очевидно, что взрыв отсутствует, если прочность настолько высока, что заряд не разрушается, или, если величина σ , определяющая мощность трения на плоскости скольжения t_u , и само давление P в образце при его разрушении малы для возникновения очагов воспламенения ВВ. Этими двумя обстоятельствами определяются соответственно верхняя σ_p и нижняя σ_b границы интервала значений прочности заряда, который разрушается со взрывом. Величины σ_p и σ_b и их связь с параметрами удара и частотой взрывов ВВ найдем следующим образом.

Значение σ_b , при котором образец с h_0 воспламеняется, и соответствующее давление разрушения $P_b \approx \sigma_b(1 + 2R/3\sqrt{3}h_0)$ определяются численным расчетом по указанным соотношениям и формулам (4)–(7) из [2].

Предельное значение, большее которого заряд при заданной толщине и энергии удара не разрушается, определяется по формуле для предельного состояния сжатого пластического слоя

$$\sigma_p = P_x / (1 + 2R/3\sqrt{3}h_0), \quad (2)$$

где $P_x = v_0 \sqrt{MK}/\pi R^2$ — максимально возможное давление удара при абсолютно упругой деформации заряда и системы нагружения (холостой удар); K — жесткость системы нагружения копра. При $\sigma > \sigma_p$ разрушения нет и $P_1 = P_x$.

Вероятность возбуждения взрыва вычислим с помощью интеграла ошибок:

$$f = \frac{1}{\sqrt{2\pi} \Delta\sigma} \int_{\sigma_b}^{\sigma_p} \exp\left[-\left(\frac{\sigma - \sigma_0}{\Delta\sigma}\right)^2/2\right] d\sigma. \quad (3)$$

Здесь σ_0 — среднее значение прочности; $\Delta\sigma$ — среднеквадратичное отклонение от среднего значения. Иными словами, частота взрыва $F = 100f(\%)$ заряда с заданной толщиной h_0 определяется вероятностью его изготовления с величиной прочности $\sigma = \sigma_b \div \sigma_p$ при фиксированном значении $\Delta\sigma$.

Соотношения (1)–(3) совместно с уравнениями неизотермической деформации и воспламенения зарядов ВВ при ударе [2] составляют замкнутую систему уравнений для определения функции вероятности взрывов в зависимости от условий механического воздействия и характеристик заряда. Расчеты проведены для испытаний октогена на чувствительность к удару на копре, причем приняты следующие значения параметров удара и физико-химических характеристик ВВ: $Q = 5,52 \text{ МДж/кг}$, $Z = 10^{16} \text{ 1/с}$, $E = 45 \text{ ккал/моль}$ [8], $\rho_c = 2 \cdot 10^6 \text{ Дж}/(\text{м}^3 \cdot \text{К})$, $\lambda = 0,11 \text{ Вт}/(\text{м} \cdot \text{К})$, $\beta = 2,4 \cdot 10^{-7} \text{ К/Па}$, $\nu = 0,4$, $\mu_0 = 10 \text{ Па} \cdot \text{с}$, $K = 2,7 \cdot 10^8 \text{ Н/м}$, $M = 10 \text{ кг}$, $R = 5 \text{ мм}$.

На рис. 1 приведены рассчитанные зависимости давления удара P , максимального разогрева ΔT и параметра ψ от времени для двух образцов октогена с разными σ_s^0 , начинающих деформироваться при $P_0 = \sigma_s^0(1 + 2R/3\sqrt{3}h_0) \approx P_1$.

Видно, что максимум температуры толстого образца $\Delta T_{\max} = 480 \text{ К}$ достигается раньше по времени за счет более высоких значений сдвигового напряжения $\tau \sim \sigma_s^0$ и скорости сжатия слоя $w \sim P_0 - P(t)$. Однако резкое увеличение скорости спада давления $|dP/dt|$ уменьшает температуру плавления вещества $T_{\text{пл}} \sim \dot{\tau}P$, являющуюся границей разогрева ВВ. Вследствие этого интенсивное разрушение тонкого образца, характеризующегося повышенными значениями скорости трения $u \sim w/h$, приводит к более высокому разогреву $\Delta T_{\max} = 515 \text{ К}$ и воспламенению заряда при $t_b = 8,6 \text{ мкс}$. Толстый образец за время разрушения t_p не воспламеняется: $\psi(t_p) < 1$, $\psi(t_p) \approx 0$.

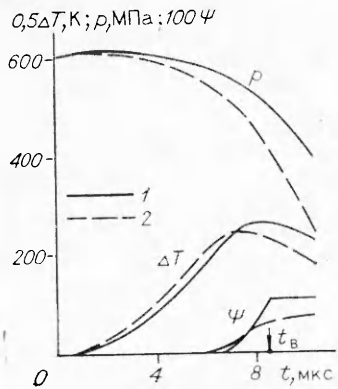


Рис. 1. Зависимости давления удара, максимального разогрева $T - T_0$, функции ψ от времени t при разрушении образцов ($\sigma_0 = 125$ (1) и 70 МПа (2), $h_0 = 0,50$ (1) и $0,25$ мм (2)).

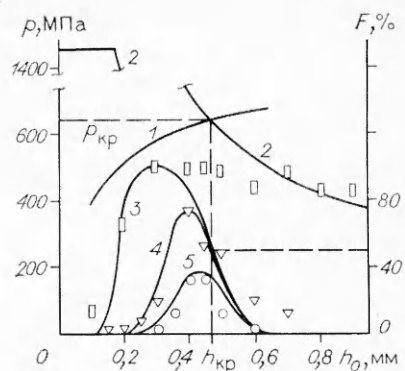


Рис. 2. Зависимости минимального давления воспламенения P_v (1), среднего давления разрушения p_1 (2), частостей взрывов F (3, 4, 5) октогена от начальной толщины заряда h_0 .

На рис. 2 приведены результаты расчета давлений воспламенения P_v (кривая 1), разрушения P_1 , соответствующего среднему значению прочности октогена $\sigma_0 = 125$ МПа (2) и частостей взрывов F (3—5) в зависимости от начальной толщины h_0 . Величина P_v не зависит от энергии удара при $v_0 < 5$ м/с (2, 3 — расчет при $v_0 = 2,2$ м/с, 4, 5 — $v_0 = 1,4$ и $1,2$ м/с).

Для определения величины σ_p по (2) использовались следующие экспериментальные значения максимального давления для копра К-44-2: 1) при $v_0 = 2,2$ м/с — $P_x = 1460$ МПа, 2) $v_0 = 1,4$ м/с — $P_x = 860$ МПа, 3) $v_0 = 1,2$ м/с — $P_x = 730$ МПа. Критическим условиям возбуждения взрыва октогена соответствует точка пересечения кривых 1 и 2 на рис. 2 с координатами $P_{kp} = 640$ МПа, $h_{kp} = 0,472$ мм, близким к экспериментальным значениям $P_{kp} = 640 \pm 30$ МПа, $h_{kp} = 0,43 \pm 0,04$ мм [1].

Точками на рис. 2 показаны экспериментальные данные [1] по определению частостей взрыва октогена в указанных выше условиях удара. Отметим хорошее совпадение теоретических и экспериментальных значений максимумов F_{max} зависимости $F(h_0, v_0)$. При снижении энергии удара F_{max} уменьшается, а его координата $h_{0max} \rightarrow h_{kp}$.

Обсудим причину расхождения теории и эксперимента для $v_0 = 2,2$ м/с при $h_0 > 0,5$ мм. Дело в том, что экспериментальные данные не позволяют отделить взрывы на первом спаде давления (первом разрушении) от взрывов на последующих спадах P . Расчеты выполнены для однократного разрушения образца. Рассмотрим условия для повторного разрушения. Очевидно, для разрушения остаточного слоя ВВ толщиной h_k необходимо, чтобы его несущая способность, определяемая величиной $P_k \approx \sigma_0(1 + 2R/3\sqrt{3}h_k)$, не превосходила максимального давления удара $P_{kk} = v_k \sqrt{MK}/\pi R^2$, которое создает в образце механическое воздействие с упругой энергией $W_k = Mv_k^2/2$, оставшейся в системе нагружения после первого разрушения. Считая, что за время первого разрушения энергия груза меняется мало, скорость центра тяжести системы нагружения $v_k = v_0 \sqrt{1 - P_1^2/P_x^2}$. Подставляя указанные формулы в условие разупрочнения остаточного слоя ($P_k/P_{kk} < 1$), получим критерий повторного разрушения заряда ВВ:

$$\frac{3\sqrt{3MK}v_0h_0}{2\pi R^3\sigma_0\sqrt{1+h_0^2/h_k^2}} > 1. \quad (4)$$

Из (4) следует, что возможность двукратного разрушения образца увеличивается при уменьшении σ_0 и R , повышении начальной скорости удара, жесткости системы нагружения K , h_0 и h_{kp}/h_0 . Для типичных условий деформации ВВ $h_0 = (3 \div 5)h_{kp}$. Подставив в (4) $R = 0,5$ см, $M = 10$ кг, $K = 0,27$ МН/м, находим, что условие (4) для октогена выполняется для $v_0 = 2,2$ м/с при $h_0 > 0,5 \div 0,85$ мм, что близко к величине $h_0 \approx 0,4$ мм, при которой теоретическая кривая \mathcal{Z} на рис. 2 отклоняется от экспериментальных точек, характеризующих зависимость $F(h_0)$. При уменьшении энергии удара W_0 согласие расчета с экспериментом улучшается (см. рис. 2, 4, 5). Это подтверждается и расчетом по формуле (4), из которой следует, что повторное разрушение заряда для $v_0 = 1,4$ м/с должно происходить при $h_0 > 0,8 \div 1,3$ мм, для $v_0 = 1,2$ м/с — при $h_0 > 0,9 \div 1,6$ мм.

Рассмотрим зависимость параметров инициирования F , P_{kp} от величины разброса прочности $\Delta\sigma$. Из свойств интеграла (3) следует, что при $\sigma_p > \sigma_0 + 2\Delta\sigma$ частость взрывов в критических условиях инициирования ($h_0 = h_{kp}$) $F_{kp} = F(\sigma_b = \sigma_0) \approx 50\%$ и не зависит от значения $\Delta\sigma$. В общем случае ($h_0 \neq h_{kp}$) зависимость $F(\Delta\sigma)$ не монотонна и зависит от h_0 . Так, расчет $F(h_0, \Delta\sigma)$ при $v_0 = 1,4$ м/с показывает, что увеличение параметра $\Delta\sigma/\sigma_0$ от 0,05 до 0,15 при $h_0 = 0,5$ мм повышает F от 14 до 35 %, а при $h_0 = 0,4$ мм снижает от 100 до 84 %. Эти результаты показывают, что использование частости взрывов в качестве характеристики чувствительности ВВ создает значительные трудности при анализе результатов испытаний ВВ, поскольку частость взрывов зависит не только от свойств ВВ и условий удара, но и от качества изготовления образцов. Именно с этим обстоятельством связан большой разброс данных по чувствительности ВВ, полученных с помощью методов ГОСТа, и их плохая воспроизводимость.

Далее показано, что величина P_{kp} , полученная методом критических напряжений, наименее зависит от качества изготовления зарядов ВВ. Найдем связь погрешности определения ΔP_{kp} , обусловленной зависимостью давления инициирования от прочности заряда $P_b(\sigma)$, с разбросом величины ΔP_1^0 в критических условиях. Пусть $\delta \sim \Delta\sigma$ — доверительный интервал прочности σ , а зависимость $P_b(\sigma)$ имеет вид

$$P_b = P_{kp} (\sigma/\sigma_0)^n, \quad (5)$$

n — константа. При $h_0 \ll R$ $\sigma \approx 3\sqrt{3}h_0P_b/2R$, поэтому в координатах $P - h_0$ (5) имеет вид $P_b = P_{kp}(h_0/h_{kp})^{n/(1-n)}$, а кривая $P_b(h_0)$ — граница раздела областей точек, соответствующих разрушению заряда со взрывом, от точек, соответствующих отказу. Общепринята оценка погрешности определения P_{kp} : $\Delta P_{kp} = (P_{max}^- - P_{min}^+)/2$, где $P_{max}^- = P_b^-(\sigma_0 + \delta)$ — максимальное давление разрушения заряда без взрыва; $P_{min}^+ = P_b(\sigma_0 - \delta)$ — минимальное давление разрушения со взрывом; $\Delta P_1^0 = \delta(1 + 2R/3\sqrt{3}h_{kp})$, а относительная ошибка $\Delta P_1^0/P_{kp} = \delta/\sigma_0$. Учитывая, что при $\delta \ll \sigma_0$ функция $(1 \pm \delta/\sigma_0)^n \approx 1 \pm n\delta/\sigma_0$, находим

$$\Delta P_{kp} = nP_{kp}\delta/\sigma_0 = n \cdot \Delta P_1^0 \quad (6)$$

Для рассмотренного случая расчета параметров инициирования октогена (см. рис. 2) зависимость (5) при $80 < \sigma < 170$ МПа согласуется с показателем $n = 0,2$. Тогда из формулы (6) следует, что величина погрешности определения критического давления ΔP_{kp} октогена в 5 раз меньше разброса давления разрушения ΔP_1^0 . Согласно [1], при $\Delta P_1^0/P_{kp} = 15 \div 25\%$, типичной для копровых экспериментов со вторичными ВВ, точность определения критических давлений $\Delta P_{kp}/P_{kp}$ не хуже 10 %, что удовлетворительно согласуется с проведенной теоретической оценкой (оценка снизу). Отметим, что дополнительным источником погрешности является неточность измерений толщин зарядов $\Delta h_0/h_0$, величина которой возрастает при уменьшении h_0 .

Рассмотренный эффект зависимости критических параметров инициирования твердых ВВ от прочности образцов следует учитывать при анализе чувствительности смесевых ВВ, в том числе смесей с жидкими компонентами. Известно [7], что введение легкотекучей добавки в количестве нескольких процентов к твердому ВВ снижает прочность зарядов смеси на 30—50 %, что по (5) должно привести к снижению P_{kp} на 7—15 %. Отсюда следует, что если для вторичных твердых ВВ $P_{kp} = 600 \div 800$ МПа, то полученные на их основе неотверженные пасто-н гелеобразные составы, характеризующиеся величиной эффективной прочности σ в 5—10 раз меньшей, чем у твердых ВВ, могут иметь $P_{kp} = 300 \div 400$ МПа. Этот эффект снижения P_{kp} обусловлен только уменьшением σ и совершенно не связан с химическим взаимодействием в смесевой системе, которая также независимо влияет на снижение величины P_{kp} [9].

Итак, на примере октогена проанализировано влияние прочности заряда на характер разрушения и параметры воспламенения твердых ВВ при ударе на копре. На основе предположений о нормальном законе распределения значений прочности зарядов ВВ, испытываемых на чувствительность к удару, выполнены расчеты кривых частостей взрывов для типичных условий проведения копровых экспериментов. Показана возможность понижения критического давления возбуждения взрыва при введении в ВВ малопрочной текучей флегматизирующей добавки.

ЛИТЕРАТУРА

1. Афанасьев Г. Т., Боболев В. К. Инициирование твердых ВВ ударом.— М.: Наука, 1968.
2. Дубовик А. В., Лисанов М. В. Расчет критических параметров инициирования твердых ВВ ударом на копре // ФГВ.— 1985.— 21, № 4.— С. 87.
3. Дубовик А. В., Лисанов М. В., Авдеев Е. А. Расчет параметров инициирования твердых энергетических веществ с учетом локализации пластической деформации при ударе // Хим. физика.— 1986.— 5, № 4.— С. 539.
4. Карслу Г., Егер Д. Теплопроводность твердых тел.— М.: Наука, 1964.— С. 487.
5. Авдеев Е. А., Дубовик А. В. Влияние скорости нагружения на параметры разрушения и воспламенения тонких слоев твердых энергетических веществ // Хим. физика.— 1988.— 7, № 5.— С. 688.
6. Дубовик А. В., Лисанов М. В. Воспламенение жидких веществ при выдавливании в отверстие. I. Теоретический анализ процесса // ФГВ.— 1985.— 21, № 6.— С. 3.
7. Карпухин И. А., Боболев В. К. Влияние флегматизатора на возбуждение и развитие взрыва ВВ при ударе // ФГВ.— 1967.— 3, № 4.— С. 485.
8. Максимов Ю. Я. Термическое разложение гексогена и октогена // Теория ВВ: Тр. МХТИ.— М.: Выспш. шк., 1967.— Вып. 53.
9. Боболев В. К., Карпухин И. А., Балинец Ю. М. и др. О некоторых особенностях возбуждения взрыва ударом и детонационной способности смесей окислитель— горючее // ФГВ.— 1979.— 15, № 2.— С. 140.

г. Москва

Поступила в редакцию 8/VI 1990

УДК 621.7.044.2

B. Ф. Нестеренко, С. А. Першин, Б. В. Фармаковский,
A. П. Хинский, С. Н. Золотарев, Н. А. Усищев, С. Н. Новиков

ВЗРЫВНОЕ КОМПАКТИРОВАНИЕ ЭЛЕМЕНТОВ ЭЛЕКТРОННЫХ УСТРОЙСТВ ИЗ АМОРФНЫХ СПЛАВОВ

Исследованы свойства и методы получения композиционных изделий на основе аморфных магнитомягких сплавов. С применением энергии взрыва изготовлены магнитные головки, экраны и магнитопроводы. Проведенные измерения эксплуатационных характеристик позволяют надеяться на применение взрывной технологии для получения этих изделий.